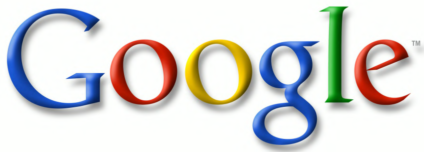
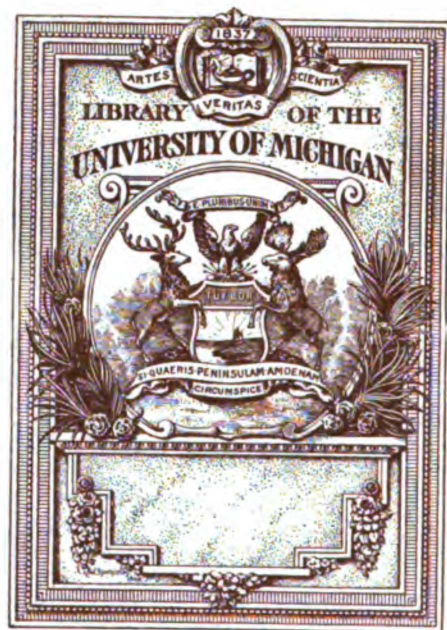
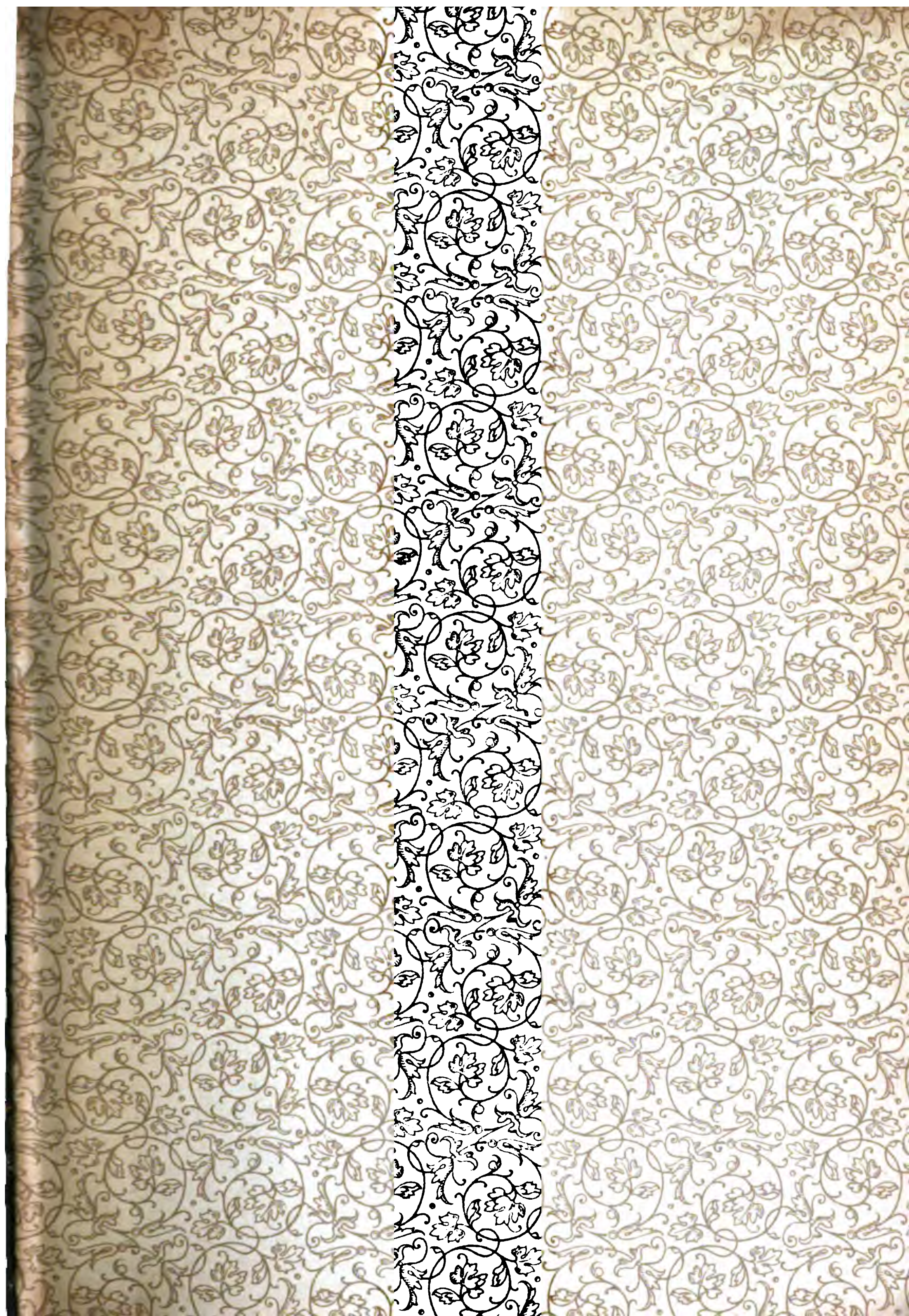



1837
ARTES
VERITAS
SCIENTIA
LIBRARY OF THE
UNIVERSITY OF MICHIGAN
E PLURIBUS UNUM
TUEBOR
SI QUAERIS PENINSULAM AMOENAM
CIRCUMSPICE



Jahresbericht

über die Fortschritte der

CHEMIE

und verwandter Theile anderer Wissenschaften

Erster Theil

Autoren-Register

Jahresbericht

über die Fortschritte der

CHEMIE

und verwandter Theile anderer Wissenschaften

General-Register

für die

Berichte von 1887 bis 1896

Erster Theil

Autoren-Register

herausgegeben

von

G. Bodländer

Braunschweig

Druck und Verlag von Friedrich Vieweg und Sohn

1904

Autorenregister.

A.

Triphenylphosphorsäuredichlorid, Phenylphosphorsäuredichloriddibromid, Diphenylphosphorsäuremonochloriddibromid, Phenylthiophosphorsäuredichlorid 1393; Diphenylthiophosphorsäuremonochlorid, Thiophosphorsäure- und Phosphorsäure-Triphenyläther 1394.

92: Perchlorameisensäure-Aethyl- und Perchloressigsäure-Methyläther, Trichlormilchsäure-Tetrachloräthylidenäther 1668 f.

93: Perchlorameisensäureäthyläther und Perchloressigsäuremethyläther 687.

Anschütz, R. und Evans, N. P., **87**: Hydrate des Antimonpentachlorids 441 f.; Verhalten derselben gegen Chloroform und Tetrachlorkohlenstoff 442; Verhalten der Oxalsäure gegen Antimonpentachlorid 442 f.

89: Dampfdichte von Antimonpentachlorid 129 f.

Anschütz, R. und Gautier, **88**: Anilsäuren aus Bernstein-, Monobrombernstein- und Camphersäureanhydrid 1936; Verhalten von Fumaranilsäure gegen Phosphorpentachlorid: Monochlorsuccinanil 1937.

Anschütz, R. und Geldermann, H., **90**: Einwirkung von Harnstoff und Thioharnstoff auf Dioxyweinsäure, Benzil und Benzoin: Diphenylizin-Dioxyweinsäure-Aethyläther, Dicarbamid des Dioxyweinsäure-Aethyläthers 769; Tolanharnstoff, α-β-Diphenyl-μ-amidooxazol, α-β-Diphenyl-μ-amidothiazol, Rhodanammonium gegen Benzoin 770.

Anschütz, R. und Gillet, C., **88**: Phenylhydrazon-Mesitonsäure, Dimethylmalonsäure aus Mesitonsäure 1891 f.; Reduction der Mesitonsäure zu α-Dimethylvalerolacton, Constitution der Mesitonsäure als α-Dimethyllävulinsäure, α-Dimethyl-α-angelicalacton aus Mesitonsäure, Bildung der Mesitylsäure, Formel für das Cyanid $C_{11}H_{18}N_2O_2$, für das aus Propionondicarbonsäure-Aethyläther dargegestellte Imid; Constitution der Phoronsäure als α-Tetramethyl-Propionondicarbonsäure 1892 f.

Anschütz, R. und Halsam, A. R., **87**: Einwirkung von Phosphorpentachlorid auf Chloralid: Verbindung $C\cdot HCl_7O_3$ 1623 f.

89: Einwirkung von Phosphorpentachlorid auf Chloralid, Einwirkung von Phosphorpentachlorid auf Trichlormilchsäure 2599.

90: Darstellung, Verhalten von Tetrachlorpropionylchlorid 1391 f.: Chloralid gegen Phosphorpentachlorid: Trichloressigsäure- und -milchsäureester 1420 f.

Anschütz, R. und Hensel, F., **88**: Untersuchung von Brenzweinanilsäurederivaten 2047; Verhalten von Bromwasser gegen Brenzweinanilsäure: [1, 2, 4, 6]-Tribromanilin, Brenzwein-p-bromanilsäure, Brenzwein-p-bromanil, Brenzweindibromanilsäure 2049 f.

89: Oxydation der Mesaconanilsäure: Oxanilsäure 1781.

Anschütz, R. und Montfort, W. F., **95**: Umwandlung von Benzalacetophenon in α-Phenyl-β-benzoylpropionsäure 1844.

Anschütz, R. und Moore, G. D., **87**: Einwirkung von Phosphorpentachlorid auf Salicylsäure: Darstellung und Verhalten von o-Chlorcarbonylphenylorthophosphorsäuredichlorid: o-Chlorcarbonylphenylmetaphosphorsäureäther 1993 f.: Phosphorsalicylsäure, Verbindung o-$C_7H_4Cl_5PO_2$; Bildung von o-Monochlorbenzotrichlorid 1994 f.; Darstellung des Chlorids o-$C_7H_4ClPO_4$ 1995; Phosphorpentachlorid gegen m-, resp. p-Oxybenzoësäure: m-Monochlorcarbonylphenylorthophosphorsäuredichlorid, m-Carboxylphenylorthophosphorsäure 1995 f.; Bildung von m-Monochlorbenzotrichlorid; p-Carboxylphenylorthophosphorsäure und Derivate 1996; p-Monochlorbenzoylchlorid, p-Monochlorbenzotrichlorid 1997.

88: Verhalten von Phosphorpentachlorid gegen die isomeren Oxybenzoësäuren: specifisches Gewicht des o-Monochlorcarbonylphenylorthophosphorsäuredichlorids 1941.

Anschütz, R. und Parlato, E., **92**: Oxomalonsäure-, Dioxymalonsäure-(Mesoxalsäure-)Aethyläther 1722; Dioxyweinsäure-(Dioxybernsteinsäure-)Aethyläther, Dioxobernsteinsäureäther 1785; Tetraoxybernsteinsäureäther, Hydrazonketopyrazoloncarbonsäure-Aethyläther 1786.

Anschütz, R. und Pauly, H., **94**:

tionswärme organischer und anorganischer Säuren (Elektrolyse) 258.

90: Leitungsfähigkeit durch heifse Salzdämpfe: Kaliumsalze, Natriumsalze, Lithiumsalze 320 f.; Gleichgewichtsverhältnisse zwischen Elektrolyten: Essigsäure, Ameisensäure, Wasser 340 f.

91: Neutralisationswärmen 246; elektrolytische Dissociation 261 f.; kryoskopisches Verhalten verdünnter Rohrzuckerlösungen 262; Leitung der Elektricität durch heifse Salzdämpfe 285.

92: Affinitätsconstanten von Säuren 119; Diffusion der in Wasser gelösten Stoffe 242; Dissociationswärmen von Elektrolyten 340; Dissociationstheorie 380; Aenderung des Leitungsvermögens von Lösungen durch Zusatz von Nichtleitern 433.

93: Bestimmung der elektrolytischen Dissociation von Salzen mittelst Löslichkeitsversuchen 219.

94: Proportionalität zwischen Gefrierpunktserniedrigung und osmotischem Druck 50; Hydrolyse von Salzen schwacher Säuren und schwacher Basen 282.

Arsonval, d', siehe Brown-Séquard.

Arsonval, A. d', **88**: calorimetrische Messungen 311.

91: Filtration und Sterilisation organischer Flüssigkeiten mit flüssiger Kohlensäure 2341 f.

Arth, G., **88**: vergleichende Untersuchung von β-Pimelinsäure und n-Propylbernsteinsäure und deren Amide 1881 f.

89: Bestimmung der Phosphorsäure in Thomasschlacke 2367.

90: Bestimmung der Phosphorsäure in Thomasschlacken 2410.

94: Veränderung von Steinkohlen unter Wasser 481.

95: Berechnung des Brennwerthes der Steinkohlen nach der Dulong'schen Regel 212; Ausnutzung der Hochofengase 672.

96: Einwirkung von Phenylisocyanat auf Pimelinsäure aus Menthol 690.

Arthaud, **93**: Bestimmung von Harnsäure mittelst Kupferhyposulfit 2115.

Arthaud, G. und Butte, L., **89**: Pathogenese des Diabetes 2142.

90: Bestimmung der Harnsäure im Harne 2574.

91: Stoffwechsel der Leber 2275 f.

Arthur, Mac, siehe Mac Arthur.

Arthus, **94**: über einige Albuminoide; die Classe der Caseïne, die Familie der Fibrine 2316.

Arthus, M., **92**: Glycolyse im Blut 2211.

93: über die Caseïne und Fibrine 1977.

96: Natur der Enzyme 1989.

Arthus, M. und Huber, A., **92**: Einwirkung von Fluornatrium auf die durch Entwickelung lebender Wesen und durch chemische Processe hervorgerufenen Gährungserscheinungen 2249 ff.

94: Darstellung von Oxyhämoglobinkrystallen 2321.

Arthus, M. und Pagès, C., **91**: Einflufs von Natriumoxalat auf die Blutgerinnung 2287.

Artini, E., **90**: Krystallform von Methylasparaginsäure 1416.

92: Krystallform neuer organischer Verbindungen 868, der isomeren Pyroglutaminsäure 1796.

95: linksdrehende Pyroglutaminsäure 1411; Krystallform einiger neuer organischer Verbindungen 1505; die Krystallform und optischen Eigenschaften des Methylacetanilids 1583.

Artmann, K., siehe Troeger.

Arwed-Walter, **87**: Gewinnung von Aluminium 2498.

Arzberger, H., siehe Zincke, Th.

Arzibascheff, E., siehe Petrenko-Kritschenko.

Arzruni, **87**: Krystallform von Bleitetraphenyl 1919, von p-Tritolylstibin 934.

89: Krystallform von Aethylenphenylhydrazin 1269; Krystallform von Salzen des Pyridins und Methyltetrahydro-α-picolins 1980.

90: Krystallformen von Tropidinsalzen 2048.

Arzruni, A. und Schütz, E., **94**: krystallisirte Verbindungen, gebildet beim Deaconprocefs 681.

Asbeck, J., **94**: Extraction silberhaltiger Aufbereitungsabgänge mittelst des Russelprocesses 695.

Asbóth, A. v., **87**: directe Bestimmung der Stärke in Körnerfrüchten 2464 f.; Analysen von Getreidearten 2465.

88: Stärkemehlbestimmung 2806;

Abwesenheit von Zucker in den Getreidearten 2809.

89: Bestimmung der Stärke 2460, 2461; Nachweis von Pyridin in Amylalkohol 2780 f.

90: Nachweis von Baumwollsamenöl im Schmalz 2568; Untersuchung über künstlichen Kryolith, Dissociation von Fluoraluminium 2688.

92: Wirkung von Wasserstoffsuperoxyd auf Stärke: Amylodextrin, Verbindung $C_{24}H_{42}O_{20}.4H_2O$ und Oxydationsproduct $C_5H_8O_4$ 2467; volumetrische Bestimmung von Schwefelsäure 2504.

93: Analyse der Knollengewächse und die Zusammensetzung der Cetewayokartoffel 2228.

94: Nachweis von Verfälschungen im Himbeersaft 2750; Analyse der Samenarten 2753.

95: Schwefelbestimmungsmethoden in Schwefelkiesen 2753; Bestimmung des Schwefels in organischen Verbindungen 2884.

96: die kritische Temperatur der Flüssigkeiten und eine neue Methode zur Bestimmung der Identität der Fette, Oele etc. 2219; Magnesiumsulfat als Conservirungsmittel 2190.

Asbrand, Ernst, siehe Freund.

Aschan, siehe Hjelt.

Aschan, Ossian, **87**: Verhalten von Chloracetylchlorid gegen o-Monoamidophenol, Monochloracet-o-amidophenol 1309 f.

88: Darstellung, Oxydation von α-Dibromhydrin 1406 f.; Pyrotartryl (p-)tolylimid aus Brenzweinsäure und p-Toluidin 1842; Darstellung von Oxanilsäure 1958 f.

90: Constitution von α-Dibromhydrin, Aceto-α- und -β-dibromhydrin, β-Dibromhydrin-Salpetersäureester 1128; Oxydation von α- und β-Dibromhydrin: Bildung von Monobromessigsäure resp. α-β-Dibrompropionsäure, Oxydation von α-Dichlorhydrin mit Salpetersäure: Bildung von Monochloressigsäure und Chlordinitromethan, Eigenschaften von Chlordinitromethankalium 1129; Umlagerungen in der Allylreihe: Verhalten von α-Dibromhydrin (Epibromhydrin, α-Dibromhydrinacetat), Bildung von Acroleïn aus Glycerin, α-Dibromhydrin und Acetonbromid (labile Modification des Acroleïns) 1129 f.; Säuren aus dem Erdöl von Baku 1791 f.; Hexamethylen-(Hexanaphten-)monocarbonsäure und Derivate 1792; Salze, Chlorid, Amid der Hexanaphten-(Hexamethylen-)carbonsäure 1793; Homologe der Hexanaphtenmonocarbonsäure 1794; Oxanilsäure: Untersuchung, Salze, Derivate, Oxanylchlorid, Oxanylamid, Carbanil aus Oxanylchlorid 1820 f.

91: Hydrirung der Benzoësäure 1814 ff.; Säuren des Erdöls von Baku, Hepta- und Octonaphtencarbonsäure, Derivate und Salze 1989 ff.

92: Schmelz- und Siedepunkt von Hexahydrobenzoësäure 1948; Hydrobenzoësäuren: Hexanaphtencarbonsäure, Δ^2-Tetrahydrobenzoësäure (Benzoleïnsäure), Salze, Ester, γ-Hexahydrobenzoësäurelacton 1949 f.; Tetrahydrobenzamid, Δ^2-Tetrahydrobenzoësäuredibromid, γ-Oxyhexahydrobenzoësäuremonobromlacton 1950; γ-Aethoxy-Δ^1-tetrahydrobenzoësäure, Salze, Dibromid, Hydrobromid, Δ^2-Tetrahydrobenzoësäurehydrobromid 1951; Hexahydrobenzoësäure, Salze, Ester, Amid 1952; α-Monobromhexahydrobenzoësäure, Δ^1-Tetrahydrobenzoësäure und Salze 1953; Δ^1-Tetrahydrobenzamid, β-Monobromhexahydrobenzoësäure und Amid 1954; Dioxyhexa-, Diacetyldioxyhexahydrobenzoësäure 1955; Naphtensäuren (Heptanaphtensäure) der Erdöle von Baku 1958.

93: zur Kenntnifs des Bromcamphersäureanhydrids und der Camphersäure 769.

94: isomere Camphersäuren 985; Darstellung des Bromcamphersäureanhydrids und der Lauronolsäure 993; eine neue Spaltungsreaction des Bromcamphersäureanhydrids 994; über die Campherformel von Bredt 1727; über die Bildung des Campherchinons bei der Oxydation der Camphocarbonsäure mit Kaliumpermanganat 1745.

95: Camphersäuredianilid 1198; zur Kenntnifs der Camphoronsäuren und ihrer optischen Isomeren 1230; Berichtigung 1232; structur- und stereochemische Studien in der Camphergruppe 2040.

96: Lauroleu, ein Kohlenwasserstoff der Camphergruppe 184, 1540.

B.

blauer beizenfärbender Farbstoffe aus Dinitroanthrachinon 1707; Darstellung grünblauer beizenfärbender Anthracenfarbstoffe 1713; gelbe Farbstoffe der Acridinreihe 2119; Darstellung blauer Farbstoffe sauren Charakters aus Nitrosodialkyl-m-amidophenol 2162; Darstellung am Azinstickstoff alkylirter Induline 2163, 2164; Darstellung von Sulfosäuren der am Azinstickstoff alkylirten Induline 2164, 2165; Darstellung von Azofarbstoffen mit m-Phenylendiamindisulfosäure 2241; Darstellung von braunen, substantiven Farbstoffen der p-Phenylendiaminreihe aus p-Amidobenzolazosalicylsäure 2241; Darstellung von Diazofarbstoffen aus β_1-Amido-α_3-naphtol-β_4-sulfosäure 2243; Darstellung blauer Disazofarbstoffe aus α_1-α_3-Naphtylendiamin 2244.

95: Darstellung von violettschwarzen bis schwarzen Färbungen und Drucken auf der Faser 1541; Darstellung von m-Phenylendiamindisulfosäure 1598; Darstellung der α_1-α_4-Amidonaphtol-β_4-sulfosäure 1665; Darstellung gelber bis brauner phosphinähnlicher Farbstoffe aus substituirten Auraminen 1694; Darstellung grünblauer Beizenfarbstoffe aus Tetralkyldiamidobenzhydrolen 1703; Darstellung von Farbstoffen der Rhodamingruppe mittelst Chloralhydrat 1877; Ueberführung der Rhodamine zweibasischer o-Carbonsäuren in stickstoffreichere Farbstoffe 1877; Darstellung blauer beizenfärbender Farbstoffe aus Gallussäure 1897; Darstellung von Naphtazarin aus $\alpha_1\alpha_4$-Dinitronaphtalin 1993; Darstellung beizenfärbender blauer Farbstoffe aus Nitrosodialkyl-m-amidophenol 2436; Darstellung blauer Farbstoffe sauren Charakters aus Nitroso-m-dialkylamidophenolen 2437; Darstellung am Azinstickstoff substituirter Phenanthrophenazine 2474; Darstellung eines am Azinstickstoff alkylirten Indulins 2501; Darstellung von am Azinstickstoff alkylirten Indulinen und von Sulfosäuren derselben 2502; Darstellung von Farbstoffen der Rosindulingruppe 2504, 2505; Darstellung von Nitrosaminen primärer aromatischer Amidoverbindungen und von deren Salzen 2559; Darstellung von Diazoverbindungen aus Nitrosaminen primärer aromatischer Amidoverbindungen 2561; Erzeugung von gelben Färbungen auf Seide vermittelst Diazoverbindungen oder Nitrosaminen 2607; Darstellung eines Monoazofarbstoffes aus $\alpha_1\alpha_4$-Dioxynaphtalindisulfosäure 2610; Darstellung von Azofarbstoffen, welche sich von einer Amidonaphtalsulfosäure ableiten 2610; Darstellung substantiver Baumwollfarbstoffe mittelst Nitro-m-phenylendiamin 2610; Darstellung schwarzer Disazofarbstoffe aus $\alpha_1\alpha_4$-Amidonaphtolsulfosäure 2615; Darstellung von Diazofarbstoffen aus α_1-Amido-α_3-naphtol-β_4-sulfosäure 2616; Erzeugung von Farbstoffen auf der Faser vermittelst der Nitrosamine primärer aromatischer Amidoverbindungen 2624, 2625.

96: Darstellung der Amidonaphtolsulfosäure 1201; Darstellung von Azofarbstoffen der Benzidinreihe 1916; Darstellung eines schwarzen Baumwollfarbstoffes aus dem Dinitronaphtalin 1080; Darstellung von Farbstoffen aus der Gruppe des m-Amidophenolphtaleïns 1322; Darstellung von Indoxyl und Indoxylsäure 1742; Darstellung gelber bis brauner phosphinähnlicher Farbstoffe aus Tetramidotriphenylmethanderivaten 1216; Darstellung von Nitrosaminen 1114; Darstellung von Polyazofarbstoffen der Benzidinreihe aus Azofarbstoffen durch Oxydation 1917; Darstellung von Rhodaminen mittelst Phtalonsäure 1322; Darstellung von wasserlöslichen violetten bis blauen Safraninfarbstoffen 1918; oxydative Verkettung von je 2 Mol. einfacher Azofarbstoffe zu Benzidinfarbstoffen auf elektrochemischem Wege 1917.

Badl, V., siehe Goldschmidt, H.

Bäärnhielm, L. und Jernander, A., **94**: Isolirmasse aus Stearinpech 833.

Bächer, G., **91**: Herstellung bleifreier Glasuren 2692.

Bächer, J., **90**: Darstellung bleifreier Glasuren 2721.

Bäcker, W., **88**: Gewinnung von Leuchtgas aus Theer 2835.

Bäckström, H., **87**: elektrische Leitfähigkeit von Krystallen 301; Krystallformen von α-β-Dichlornaphtalin 937; Krystallform von α- und β-Amyrilen 1298; Krystallform des α_1-α_2-

89: Ursprung der Bronze 16; Reaction zwischen Chromsäure und Wasserstoffsuperoxyd 241 f.; Gesetz vom Arbeitsmaximum 242; Verdrängung zwischen Sauerstoff und den Halogenen, Zersetzung von rauchender Salzsäure durch Sauerstoff 242 f.; Zersetzung von Brom- und Jodwasserstoffsäure durch Sauerstoff, Bildungswärmen der Thionsäuren 243; Apparat zur Darstellung von Stickstoff aus der Luft 399; Lösen von Salpetersäureanhydrid in Wasser 408; Explosionsarten der Pikrinsäure 1376 f., von Mono- und Dinitrobenzol, von Mono-, Di- und Trinitronaphtalin 1377; Gährung der Melitose 2060 f.; Fixirung des Stickstoffs im Boden 2089; Lehre von der thierischen Wärme 2146; Eigenschaften der Raffinose 2198; Fixirung des Stickstoffs durch den Boden 2704, 2705, 2706; Bildung von Ammoniak und Stickstoffverbindungen in der Ackererde 2710.

90: Wärme, entstanden durch die Absorption von Sauerstoff durch Blut: thermische Processe, Reduction von Kaliumsulfat, Natriumsulfat 247; Kohlenoxyd 248; Lösungswärme des wasserfreien rechtsdrehenden Inosits 276; Absorption von Kohlenoxyd durch die Erde 519; Kohlenstofftetrafluorid 521; über Mikroben 2176; Untersuchung über die thierische Wärme: Wärme durch Absorption von Sauerstoff im Blute 2217 f.; über das durch Chininsalze verursachte Ohrensausen 2282; Methangährung der Kohlenhydrate: Untersuchung 2291; Bestimmung des Stickstoffs: Ausführung der Will-Varrentrapp'schen Methode 2471 f.; Aufnahme des atmosphärischen Stickstoffs durch Leguminosen unter dem Einflusse von Mikroben 2732; Absorption des atmosphärischen Ammoniaks durch die Ackererde 2735.

91: Geschichte der Chemie, Alchemie, hydrostatische Waage, Bronze 15 f.; Entdeckung des Alkohols, Ausdehnung des Quecksilbers 17; Messung der Verbrennungswärme 221; Bestimmung der Calorie 221 f.; Volum, Stabilität und Wärme 222; Explosivwelle, charakteristische Daten der Explosion und die Fortpflanzungsgeschwindigkeit derselben: Methylnitrat, Nitromannit, Nitroglycerin, Schiefsbaumwolle 222 f.; thermische Untersuchung über Asparaginsäure, Malonylchlorid und Weinsäuren 244; photochemische Reactionen 366; Darstellung von reinem Wasserstoff 387 f.; Existenz der Ueberschwefelsäure 411; Einwirkung der Wärme auf Kohlenoxyd 453 f.; Absorption des Kohlenoxyds 454; Verbindung des metallischen Eisens mit Kohlenoxyd 515 f.; Oxydation des Nickeltetracarbonyls 535 f.; Condensation von Acetylen 744; Sumpfgasgährung des Düngers 2331; Nachweis von Kohlenoxyd 2456; flüchtige Stickstoffverbindungen aus dem Pflanzenboden 2694 f.; Bemerkungen zu Schloesing's und Laurent's Arbeit: Fixirung von freiem Stickstoff durch Pflanzen 2697.

92: Taucherglocke und Taucheranzug 33; Gebrauch des comprimirten Sauerstoffs in der Calorimeterbombe 290; Ermittelung der Verbrennungswärme durch die Calorimeterbombe 291; Siedepunkt von Kohlenstoff 309; Verbrennungswärme des rechtsdrehenden Camphers 360; Bildungswärme der Ueberschwefelsäure und der Persulfate 560; basisches Calciumnitrat 606; Calciumoxychlorid 699; Eisencarbonyl 725; Nickelcarbonyl 743; Elementaranalyse: Bestimmung von Kohlenstoff, Wasserstoff, Schwefel 2558 f.; flüchtige Stickstoffverbindungen des Erdbodens 2760; Fixirung von atmosphärischem Stickstoff durch Mikroben 2761; Existenz des Nitrificationsphänomens in sauren Humusböden 2762.

93: Bindung des Stickstoffs durch Mikroorganismen 325 bis 326; Sublimation von rothem und gelbem Quecksilberjodid 503.

94: die chemischen Eintheilungen und Symbole im Alterthum und Mittelalter 7; das Princip der maximalen Arbeit und der Entropiebegriff 136; über die Grenzen der Elektrolyse 249; Bemerkungen über die Erhitzung und Selbstentzündung des Heus 292; Fixirung des atmosphärischen Stickstoffs durch die Mikroorganismen 422; Stickstoff fixirende Mikroorganismen des Ackerbodens 422; über einige sehr alte kupferne Gegenstände, welche aus Chaldäa stammen 668; über einige neue kup-

ferne Gegenstände, welche aus Altägypten stammen 669; über die langsame Veränderung von kupfernen Gegenständen im Erdboden und in den Museen 669; über die Sublimation des rothen und gelben Quecksilberjodids 691; über die mit Propylen isomeren Gase und ihre Schwefelsäureverbindungen 750; über Trimethylen und Propylen und über eine neue Classe von Kohlenwasserstoffen; dynamische Isomerie 750; Substitutionen der an Stickstoff und Kohlenstoff gebundenen Alkoholradicale 1307; Untersuchungen über Phenylhydrazin 2259.

95: Gegenstände aus Kupfer, Bronze, Zinn, Gold und Silber aus den Gräbern von Dahchour oder aus dem Museum von Gizeh 19; Beziehungen zwischen den latenten Verdampfungs- und Schmelzwärmen bei Körpern derselben Familie und Einfluſs dieser Beziehungen auf die Berechnung von Entropieänderungen chemischer Systeme 208; Beziehung der multiplen Proportionen chemischer Verbindungen und ihrer Bildungswärme 209; thermochemische Untersuchung über die Substitutionen bei Metallverbindungen 210; Bildung fester Salze aus flüssigen oder gasförmigen Componenten 212; Bildung der Salze aus dem Zusammentritt der Anhydride 212; Wärmetönung bei Bildung der Salze im festen Zustande 212; über die Unwirksamkeit von Oxydations- und Reductionsmitteln bei Analysen auf nassem Wege 398; Verbindung des freien Stickstoffs mit den Elementen des Schwefelkohlenstoffs 542; Argon, ein neuer Bestandtheil der Atmosphäre 578; neue Untersuchungen über Argon und über Helium 579; die Spectren des Argons und des Nordlichtes 589; Argon, Fluorescenzspectrum 589; Versuche, das Argon in chemische Verbindung treten zu lassen 592; über das Argon 592; Fluorescenz des Argons und seine Verbindung mit den Elementen des Benzols 593; neue Verbindung des Argons 593; das Schmelzen der Kieselsäure während der explosiven Verbrennung des Dynamits 683; Thermochemie der Kohlenwasserstoffe 947; über das Trimethylen und das Propylen und über eine neue Classe von Kohlenwasserstoffen; dynamische Isomerie 961; über die mit Propylen isomeren Gase und über deren Sulfate 961; Thermochemie der Alkohole 981; die Thermochemie der organischen Säuren 1034; über die Lösungs- und Neutralisationswärmen der Campholensäuren 1065; über die Thermochemie der Aldehyde und verwandter Körper 1252; thermochemische Beziehungen zwischen den isomeren Zuständen der gewöhnlichen Glucose 1302; Thermochemie der organischen Stickstoffverbindungen 1365; über Phenylhydrazin. Einwirkung von Sauerstoff und Wasser. Bildung der Salze 2628.

96: thermochemische Bestimmung des Aequivalents der Säuren und Basen 70; thermochemische Beziehungen zwischen den isomeren Formen der Glucose 74; über die Lösungs- und Neutralisationswärmen der Campholensäuren 74; Verbindung des freien Stickstoffs mit den Elementen des Schwefelkohlenstoffs 398; Untersuchungen über das Argon und seine Verbindungen 429; Untersuchungen über Cyansäure 939.

Berthelot und André, **87**: Ersetzung des Ammoniaks in den Salzen durch Magnesia 16 f.; Einwirkung von Säuren und Basen auf Amide von Fettsäuren 1532; Verhalten von Säuren und Basen gegen Kaliumcyanat, Blausäure 1532 f., gegen Asparagin, Asparaginsäure, Harnsäure 1533; Bildung, Verhalten und Bestimmung des Ammoniaks in der Ackererde 2287; Bedeutung der Oxalsäure für die Vegetation, Beziehungen zwischen Oxalsäure- und Eiweiſsbildung in der Pflanze; Carbonate in lebenden Pflanzen; Verbindungsformen des Kaliums, des Schwefels resp. Phosphors in der Erde, Düngererde resp. Pflanze 2289; Untersuchung der Ammoniakabgabe der Pflanzenböden an die Atmosphäre 2607.

88: Bestimmung des Stickstoffs in der Ackererde 2351; Absorption von Salzen durch die Pflanzen 2352; Zustand des Kaliums, des Schwefels, des Phosphors in den Pflanzen und der Ackererde; Bestimmung des Kalks in Pflanzen und in der Ackererde; Bedeutung des Phosphors und der

Untersuchung von para-s-Diäthylbernsteinsäure und Salzen 1907 f.; von anti-s-Diäthylbernsteinsäure und Salzen 1909.

Bischoff, C. A. und Jaunsnicker, K., **90**: Untersuchung von Pimelinsäuren, Vergleichung von Dimethylglutarsäure, Trimethylbernsteinsäure und Pimelinsäure mit einer aus Jodmethyl und Isobutenyltricarbonsäureester gewonnenen neuen Säure 1630.

Bischoff, C. A. und Kuhlberg, A. v., **90**: Methyl-, Aethyl- und unsymmetrische Dimethylbernsteinsäure; Aethenyltricarbonsäureäther aus Natriummalonsäureäther und Chloressigäther, Propenyltricarbonsäureäther aus Natriummalonsäureäther und α-Brompropionsäureäther, Methyläthenyltricarbonsäureäther aus Natriummethylmalonsäureäther und Chloressigäther 1609; Methyläthenyltricarbonsäureäther aus Natriumäthenyltricarbonsäureäther und Jodmethyl resp. Chlormethyl, Butenyltricarbonsäureäther aus Natriummalonsäureäther und α-Brombuttersäureäther, Isobutenyltricarbonsäureäther aus Natriummalonsäureäther und α-Bromisobuttersäureäther 1610: Aethyläthenyltricarbonsäureäther aus Natriumäthylmalonsäureäther und Chloressigäther resp. Natriumäthenyltricarbonsäureäther und Jodäthyl 1611; Versuche zur Darstellung von alkylsubstituirten Tricarballylsäuren, Isobutenyltricarbonsäureäther 1628; Tetramethylisoallylentetracarbonsäureäther, Tetramethyltricarballylsäure 1629; Darstellung, Scheidung von Meso- und Parabenzylmethylbernsteinsäure 1631; Darstellung und Verseifung des durch Einwirkung von Benzylchlorid auf Natriumisobutenyltricarbonsäureäther gebildeten Esters: Isobutyltricarbonsäure, as. Dimethylbernsteinsäure, Dibenzylmalonsäure, Dibenzylessigsäure, Benzylmethylcarboxyglutarsäure, Benzylmethylglutarsäure, Benzylbernsteinsäure 1632.

Bischoff, C. A. und Mintz, N., **90**: alkylsubstituirte Bernsteinsäuren: s-Paraäthyl- und s-Mesoäthylmethylbernsteinsäure aus Methylbutenyltricarbonsäureäther, Paramethyläthylbernsteinsäure aus Aethylpropenyltricarbonsäureäther 1614 f.; s-Paraäthyl- und s-Mesoäthylmethylbernsteinsäure aus Aethylpropenyltricarbonsäureäther 1614 f.; as. Dimethylbernsteinsäure und Trimethylbernsteinsäure aus Methylisobutenyltricarbonsäure, sym. Diäthylbernsteinsäuren und Monoäthylbernsteinsäure aus Aethylbutenyltricarbonsäureäther 1615; as. Diäthylbernsteinsäure aus Isohexenyltricarbonsäureäther, as. Dimethylbernsteinsäure aus Aethylisobutenyltricarbonsäureäther 1616; Benzylbernsteinsäure und Homologe: Benzylbernsteinsäure aus Benzyläthenyltricarbonsäureäther 1616; Benzylmethylbernsteinsäure aus Benzylpropenyltricarbonsäureäther, sym. Parabenzyl- und sym. Mesobenzyläthylbernsteinsäure aus Benzylbutenyltricarbonsäureäther, Benzyldimethyläthenyltricarbonsäure und Benzyldimethylbernsteinsäure aus Benzylisobutenyltricarbonsäureäther 1617; Anhydrisirung und Umlagerung von substituirten Bernsteinsäuren (Tabelle) 1617 f.; Verhalten der substituirten Bernsteinsäuren beim Erhitzen mit Salzsäure 1619; Aethyldimethylbernsteinsäure aus α-Bromisobuttersäureäther und Natriumäthylmalonsäureäther 1626 f.; Vergleichung der Aethyldimethylbernsteinsäure mit isomeren Verbb. (Korksäure, p-Dimethyladipinsäure, sogenannte dritte Diäthylbernsteinsäure) 1627.

92: Derivate der α-Amidonormalbuttersäure: Anilidonormalbuttersäure u. Acetylderivat, n-Propylanilin, Acet-n-propylanilin 1888; α,o-Toluidonormalbuttersäure, Ester und Acetylderivat, n-Propyl-o-toluidin 1889; α,p-Toluidonormalbuttersäure, Ester und Acetylderivat, n-Propyl-p-toluidin, isomere Di-p-tolyl-α,γ-diäthyl-β,δ-diacipiperazine 1890; α-Naphtalido-n-, β-Naphtalido-α, n-buttersäure, Ester und Acetylderivate, n-Propyl-α-naphtylamin, β-Dinaphtylamin 1891; n-Propyl-β-naphtylamin, β-Anilidoisobuttersäure, Acetylverbindung 1892; α-Anilidoisobuttersäure, Isopropylanilin 1893; isomere Toluidoisobuttersäuren, Ester und Acetylderivate, Acet-o-toluidin, β-Oxyïsobuturyl-o-toluidoïsobuttersäurelacton 1916 ff.; Oxyisobutyryl-p-tolyl-β-isobuttersäurelacton 1919; Isopropyl-p-toluidin 1920; Derivate der α- und

C.

D.

E.

farbstoff aus p-Oxy-p-amidodiphenyl und Salicylsäure, Farbstoffe aus Hydrazincarbonsäure und Dioxyweinsäure 2922; Azogrün, Wollschwarz, Victoriaschwarz G und 5 G, Victoriaschwarzblau, Neuvictoriaschwarz, Wollbeizenfarbstoffe aus diazotirten Amidosäuren (Amidosalicylsäure, Amidosulfosalicylsäure, Kresotinsäure, Amido-p-oxybenzoësäure, Amidoanissäure, Amidobenzoësäure, Amidosulfobenzoësäure, Amidophtalsäure) mit α-Naphtylamin (oder Amido-β-naphtoläther) und Combination mit Naphtalinderivaten (1,8-Dioxynaphtalinmono- und -disulfosäure S) (Diamantschwarz) 2923; Azofuchsin G und B; Azosäureviolett 4 R, Azobordeaux, Echtsäureviolett 10 B, Entwickler A und B für Azofarben aus diazotirtem Primulin, Chloramingelb, Benzobraun B X, Benzodunkelbraun N B X, Benzograu und Benzograuschwarz S, Benzomarineblau, Benzoindigoblau 2924; Diazurin G und B 2925; Triphenyl- und Diphenylnaphtylmethanfarbstoffe: Chromblau, Chromviolett, Chromgrün, Chromgelb 2926; Farbstoffe mittelst Ersatz von Formaldehyd durch Paraldehyd und substituirte Benzaldehyde 2927; violettblaue und violettschwarze Farbstoffe durch Einwirkung von Nitrosobenzyl- resp. Methyl-(äthyl-) benzylanilinsulfosäure auf Resorcin und 1,2-Dioxynaphtalin, Schutz der Faser durch fluorwasserstoffsaures Anilin 2928; Farbstoffe durch Einwirkung von Nitrosomonobenzylanilinsulfosäure auf Resorcin oder 1,2-Dioxynaphtalin 2930 f.; Darstellung von Indigocarmin 2931; secundäre Disazofarbstoffe 2933; Alizarinbordeaux, Alizarincyanin, Flavopurpurinbordeaux, Anthrapurpurinbordeaux, Cyanin; Alizarincyanine, Ueberführung in Sulfosäuren, Alizarincyaninzwischenproduct 2936 f.

93: Verwendung von flüssiger, schwefliger Säure zur Reinigung von Rohanthracen und Rohanthrachinon 1042; Darstellung von Dinitrodiphenylmethan und seiner Homologen 1085; Herstellung von Naphtalinpolysulfosäuren 1093; Darstellung basischer Disulfidverbindungen (Thiurete) aus Alkyldithiobiureten 1117; Sulfosäuren des Methylbenzyl-, Aethylbenzyl- und Dibenzylanilins 1132; Darstellung von Phenylnaphtylaminsulfosäuren 1146; Verseifung von Phenoläthern mittelst Aluminiumchlorid 1168; Darstellung der α_1-Naphtylamin- und α_1-Naphtol-α_2-α_4-disulfosäure und der entsprechenden Perisultonsulfosäure 1206; Darstellung von α_1-α_4-Amidonaphtol-β_2-β_3-disulfosäure 1207; Darstellung von 1,8-Dioxynaphtalin-α-monosulfosäure 1221; Darstellung einer Monosulfosäure des $\alpha_1 \beta_4$-Naphtohydrochinons 1221; Darstellung der $\alpha_1 \alpha_4$-Dioxynaphtalin-$\beta_2 \beta_3$-disulfosäure aus der $\alpha_1 \alpha_4$-Amidonaphtol-$\beta_2 \beta_3$-disulfosäure 1222; Darstellung von Sulfosäuren der Tetraalkyldiamidodiphenylmethane 1237; Darstellung von alkylsubstituirten, alkaliechten Farbstoffsulfosäuren der Triphenylmethanreihe 1251; Darstellung von Farbstoffen der Rosanilinreihe 1251; Darstellung von Sulfosäuren von Farbstoffen der Rosanilinreihe 1252; Herstellung von Farbstoffen der Rosanilinreihe durch Condensation von Tetraalkyldiamidobenzophenon mit Benzyl-α-naphtylamin 1252; Darstellung von Triphenyl- bezw. Diphenylnaphtylmethanfarbstoffen 1252, 1253; Darstellung von violetten Säurefarbstoffen der Triphenylmethanreihe 1253; Salicylsäureacetylamidophenylester 1320; Darstellung von Kresotinsäureacetylamidophenylestern 1329; Reinigung von Rohanthracen und Rohanthrachinon 1517; Darstellung hydroxylreicher Farbstoffe der Alizarinreihe 1519; Darstellung von Farbstoffen aus Alizarinbordeaux 1519; Darstellung neuer Alizarinfarbstoffe 1519; Darstellung von Farbstoffen aus Alizarinbordeaux und seinen Analogen 1520; Darstellung von Farbstoffen aus der Classe der Alizarincyanine 1520; Darstellung von Oxydationsproducten des Alizarins und seiner Analogen, sowie von Schwefeläthern derselben 1520; Darstellung stickstoffhaltiger Farbstoffe der Alizarinreihe 1520; Darstellung von Sulfosäuren der stickstoffhaltigen Alizarinfarbstoffe 1521; Darstellung einer Sulfosäure der stickstoffhaltigen Farbstoffe aus Alizarinbordeauxschwefelsäureäther 1521; Darstellung stickstoffhaltiger Farbstoffe der Ali-

tylendiamin 1328; Darstellung von p-Aethoxyphenylsuccinimid und von p-Methoxyphenylsuccinimid 1355; Darstellung von Jodkresolen 1357; Mittel zur Vertilgung von Insecten und Pilzen 1358; Darstellung von α-Naphtol aus α-Naphtylamin 1361; Darstellung von α-Naphtolsulfosäure 1362; Darstellung von α_1-α_4-Amidonaphtol-α_2-sulfosäure 1363; Darstellung von α_1-Amido-α_4-naphtol-α_3-sulfosäure 1363; Darstellung der Thonerdesalze der Naphtolsulfosäuren, genannt Alumnole 1365; Darstellung von β-Naphtol-α_1-β_4-disulfosäure 1370; Darstellung gemischter Schwefelsäureester mit je einem Alkylrest der fetten und aromatischen Reihe 1378; Darstellung eines Dihydroresorcins 1386; Darstellung von nitrirten Eugenyl- u. i-Eugenyläthern 1391; Darstellung von Condensationsproducten von Formaldehyd und Nitrophenolen und Nitrophenoläthern 1395; Darstellung von Dinitrodioxydiphenylmethan und Dinitrodiäthoxydiphenylmethan 1395; Darstellung grüner und blaugrüner Farbstoffe aus der Malachitgrünreihe 1418; Darstellung von Säurefarbstoffen der Malachitgrünreihe, den Sulfosäuren der Alkylderivate des Diamidodiphenyl-m-tolylcarbinols 1419; Darstellung eines rothen beizenfärbenden Triphenylmethanfarbstoffs aus p-Nitrobenzaldehyd und Salicylsäure 1420; Darstellung rother Farbstoffe aus Rhodamin und Dinitrochlorbenzol 1561; Darstellung von Farbstoffen aus Phtalsäurerhodaminen und aromatischen Basen 1561; Darstellung von gelben Oxyketonfarbstoffen aus Protocatechusäure und Phenolen 1647; Darstellung von β-Chloranthrachinon 1706; Darstellung von Brom- und Chloralizarin 1709; Darstellung von Nitrooxyanthrachinon 1710; Darstellung des Methyläthers des o-Oxyanthrachinons 1710; Darstellung einer Sulfosäure des α-Nitroalizarins 1711; Darstellung von α-Nitroalizarin 1711; Darstellung von Farbstoffen durch Reduction der Dinitroanthrachrysondisulfosäure 1712; Darstellung von Anthrarufin- und Chrysazinmethyläther 1712; Darstellung eines grün- bis schwarzfärbenden Beizenfarbstoffs der Anthracenreihe 1712; Darstellung von Beizenfarbstoffen durch Reduction des Tetranitroanthrachrysons 1713; Darstellung von Tetranitroanthrachryson 1713; Darstellung eines blauen beizenfärbenden Farbstoffs der Anthracenreihe 1713; Darstellung von Ecgoninalkylestern 1894; Darstellung von Antipyrin 1976; Darstellung von 1-Phenyl-2-methyl-5-pyrazolon 1976; Darstellung von Methylglyoxalidin und seinen Homologen 1981; Darstellung eines gelben basischen Farbstoffs der Acridinreihe 2120; Darstellung von Diazobenzolsäure 2180, 2187; Darstellung von Azofarbstoffen aus α_1-α_4-Dioxynaphtalin-β_2-β_3-disulfosäure 2240; Darstellung des in der Patentschrift Nr. 70885 beschriebenen Farbstoffs aus p-Phenylendiamin und α_1-α_4-Dioxynaphtalin-β_2-β_3-disulfosäure 2241; Darstellung von schwarzen Disazofarbstoffen aus Dioxynaphtalinsulfosäure 2246; Erzeugung von Disazofarbstoffen auf der Wollfaser 2246; Darstellung von s-Formyl-β-phenylhydrazidobuttersäureester 2263; Darstellung von Farbstoffen auf Wolle mit Hülfe der Sulfosäuren der hydroxylirten und amidirten Naphtole bezw. der hydroxylirten Naphtylamine 2327; Darstellung resorbirbarer Eisenverbindungen der Phosphorfleischsäure 2330; Darstellung von Lösungen, welche Stoffwechselproducte und Bestandtheile pathogener Spaltpilze in ausschliefslicher Mischung mit Nichtproteïnstoffen enthalten 2341.

95: Darstellung von o-äthylirten 1,3-Ketonsäureäthern 1118; Darstellung von Methenylverbindungen 1132; Darstellung von p-Acetyläthylamidophenyläthylcarbinol 1642; Darstellung von α_1-Naphtol-$\alpha_2\beta_3$-disulfosäure und der α_1-Naphtol-$\alpha_2\beta_4$-disulfosäure 1660; Darstellung von Diamidodinaphtylmethandisulfosäure 1693; Darstellung von Oxytoluylsäure aus β-Naphtoldisulfosäure G. bezw. Dioxynaphtalinsulfosäure G. 1813; Darstellung von Oxytoluolsäure aus β-Naphtylamindisulfosäure 1813; Darstellung von Farbstoffen aus Phtalsäure-Rhodaminen und primären aromatischen Basen 1875; Darstellung von Nitrorosaminen 1875; Darstellung saurer Farbstoffe der Rhodaminreihe 1876; Darstellung von Farbstoffen aus Fluoresceïnchlorid 1876; Darstellung von Farbstoffen aus der

Rhodaminreihe 1876; Darstellung von Farbstoffen aus Phtalsäure-Rhodaminen und substituirten aromatischen Basen 1876; Darstellung von Nitroamidoanthrachinon 1999; Darstellung von trockenem Alizarin in Stücken 2003; Darstellung von halogensubstituirten Alizarinfarbstoffen 2004; Darstellung von α-Amidoalizarinsulfosäure 2005; Darstellung von Beizenfarbstoffen durch Reduction von Dinitroanthrachryson 2007; Darstellung der β-Anthrachinoncarbonsäure 2007; Darstellung eines braunschwarzen Küpenfarbstoffes aus Anthrachryson 2007; Färben von Wolle mit Nitro-, Chlor- und Bromderivaten von Alizarinfarbstoffen 2008; Darstellung von Hexaoxyanthrachinon 2008; Darstellung von Pyrazolderivaten 2247; Darstellung von Antipyrin 2266; Darstellung von Pyridinderivaten 2378; Darstellung der p-Methyl-m-jod-o-oxychinolin-anasulfonsäure 2405; Darstellung von Amidophenolen der Chinolinreihe 2406; Darstellung von p-Amido-γ-phenylchinolin und p-Amido-γ-phenylchinaldin 2411; Darstellung der γ-Phenolchinaldine 2412; Darstellung der drei isomeren γ-Phenolchinoline 2412; Darstellung von p-Oxy-γ-phenylchinaldin 2413; Darstellung gelber basischer Farbstoffe der Acridinreihe 2418, 2419; Darstellung von i-Chinolin und α-Methyl-i-chinolin 2420; Darstellung rother basischer Azinfarbstoffe 2505; Darstellung von Azofarbstoffen aus $\alpha_1\alpha_4$-Dioxynaphtalin-$\beta_2\beta_3$-disulfosäure 2610; Darstellung substantiver Azofarbstoffe mittelst der Sulfosäure der aus p-Amidobenzylanilin erhaltenen acetonunlöslichen Thiobase 2612; Darstellung von Wolle schwarz oder rothbraun färbenden Azofarbstoffen 2612; Darstellung von schwarzen Diazofarbstoffen aus Dioxynaphtalinsulfosäure 2613; Darstellung von Disazofarbstoffen für Wolle, welche sich vom $\alpha_1\alpha_2$-Naphtylendiamin ableiten 2617; Darstellung von dialkylirten Tetrazomonoamidoverbindungen der Benzidinreihe 2621; Erzeugung von Roth auf der Faser mittelst Paranitranilin 2624; Darstellung bordeauxrother Farbstoffe auf der Faser aus der Diazoverbindung des Nitrotolidins und β-Naphtol 2626; Darstellung blauer Farbstoffe auf der Faser aus der Diazoverbindung des Dianisidins oder des Diphenetidins und β-Naphtol 2626; Zerstörung von Naphtol auf der Faser durch Oxydation mittelst Persulfaten 2628.

96: Darstellung eines phosphorhaltigen Productes aus gasförmigem Phosphorwasserstoff und Carbonylchlorid 442; Darst. von p-Acetalkylamidophenylkohlensäureestern 1293; Darstellung von Amidoammoniumbasen 1127; Darstellung von p-Amidobenzylanilin 1131; Darstellung von Amidophenylglycin 1113; Darstellung von aromatischen Amidoammoniumbasen 1127; Darstellung braungelber Acridinfarbstoffe aus Diamidobenzophenon und m-Diaminen 1815; Darstellung rother bis violetter basischer Azinfarbstoffe 1875; Darstellung gelber bis rother Azofarbstoffe aus der m-Nitranilinsulfosäure 1910; Darstellung von Baumwolle direct färbenden Polyazofarbstoffen mittelst $\alpha_1\alpha_4$-Dioxynaphtalinsulfosäuren 1910; Darstellung beständiger Chlorzinkdoppelsalze der Diazo- bezw. Tetraazoverbindungen von Amidoazokörpern 1907; Darstellung von Diamidoazoverbindungen 1920; Darstellung von Diamidophenylazimidobenzolen 1929; Darstellung von Diaminen aus der Reihe des Amidophenols und von diesen sich ableitenden Farbstoffen 1923; Darstellung beizenfärbender Farbstoffe aus substituirten Fluoresceïnen 1325; Darstellung von Farbstoffen aus Phtalsäurerhodaminen und Hydrazinen oder mit Nitranilinen 1323; Darstellung neuer Farbstoffe aus der Rhodaminreihe 1324; Darstellung von Farbstoffen aus Phtalsäurerhodaminen und Phenolen 1324; Darstellung von haltbaren Diazoverbindungen in concentrirter flüssiger oder fester Form 1906; Darstellung von Homologen des Isochinolins 1820; Darstellung von p-Jod-ana-oxy-chinolin-o-sulfonsäure 1795; Darstellung von Oxyphenacetinsalicylat 1267; Darstellung von Purpurinsulfosäure 1479; Darstellung der Sulfosäuren von Alkylderivaten des m-Amidophenolphtaleïns 1322; Darstellung von Sulfosäuren gemischter Rhodamine 1323; Darstellung von sulfurirten Rhodaminen 1322; Dar-

Kobalt-Ammonium, unterschwefelsaurem Aluminium-Ammonium, unterschwefelsaurem Kupfer-Ammonium 485; Krystallform von tertiärem m-Mononitrobenzylamin, Pentamethylanilin, Cyanurchlorid, Isodimethylcyanursäure 683; Krystallform von Isodiäthylcyanursäure, normalem Trimethylcyanurat, Trimethylisocyanurat, Isotriäthylcyanurat, normalem Trimethylsulfocyanurat, bromwasserstoffsaurem Glycosamin, Benzenylamidoxim, Benzenylamidoximbenzyläther, Kreosolcarbonsäure-Methyläther 684; Krystallform von p-Xylorcin 684 f.; von m-Xylorcin, Pyrrylmethylpinakon 685; Krystallformen von Cyanurchlorid, Isodimethylcyanursäure, Isodiäthylcyanursäure 724; Krystallform von Trimethylcyan- und -isocyanurat, von Isotriäthylcyanurat, von normalem Trimethylsulfocyanurat 725; Krystallform von o-Cyanbenzylchlorid, o-Cyanbenzotrichlorid, α-Methylhomo-o-phtalonitril 732; Krystallform von Oxypropylamin-Chloroaurat 982; von γ-Brompropylaminpikrat 983; Krystallform von Amidoäthylschwefelsäure, Identität von Taurin mit einem Additionsproducte aus schwefliger Säure und Vinylamin 986; Krystallform von Vinylaminpikrat, Monobromäthylaminpikrat, γ-Monobrompropylaminpikrat 986 f.; Krystallform von Acetylisopropylpyrrol und Acetonpyrrol 1017; Krystallform von m-Mononitrobenzylamin und Pentamethylanilin 1084; Krystallform von Isochinolinroth, c-Isopropylcinnamylpyrrol, c-Acetyl-c-isopropylpyrrol, Acetonpyrrol, jodwasserstoffsaurem Benzylimidobenzylcarbaminthioäthyl und -methyl 1212; Krystallform von Pyrrolenhydrophtalid 1227; Krystallform von Succinenylamidoxim und Acetylsuccinenylamidoxim, von Benzenylamidoxim und Benzenylamidoximbenzyläther 1340; Krystallform des Pyrrylmethylpinakons 1433; Krystallform von p- und m-Xylorcin 1473; Krystallform von Anthrachinondichlorid 1502, von Diäthylanthron 1503; Krystallform von Tetrabromdichloraceton, von Hexabromaceton 1569; Krystallform des symmetrischen Tetrachlordiacetyls 1580; Krystallform von Diäthylanthron 1627; Krystallform von Dibromchloracetamid 1722; Krystallform von Phenyldithiocarbonamin- und Anisyldithiocarbaminsäure-Aethylenäther, von Kreosolcarbonsäure-Methyläther 1958; Krystallform von chlorwasserstoffsaurem β-Oxytrimethylendiamin-(α-Diamidohydrin-)-Chlorplatin 1983; Krystallform des p-Dichlordihydroterephtalsäure-Methyläthers 1990; Krystallform des N-Phenyl-α-keto-γ-oxy-β-α_1-dimethyl-β-anilido-α_1-tetrahydropyridincarbonsäurelactons 2045; Krystallform der Amidoäthylschwefelsäure 2116; Krystallform des Hyoscyamins, des Hyoscyaminplatinchlorids, des Atropins 2241; Krystallform von Benzoylecgonin, des aus Benzoylecgonin dargestellten Cocaïns 2249 f.; Krystallform des aus Isatropylcocaïn gewonnenen Ecgonins 2254; Krystallform von bromwasserstoffsaurem Glycosamin 2307; Fehlerquellen beim Gebrauch der Aräometer 2610.

89: Krystallformen salpetrigsaurer Salze: salpetrigsaures Natrium, Silber, Silberoxyd-Ammonium, Baryum, Baryum-Kalium, Silber-Kalium, Cadmium-Kalium, Quecksilber-Kalium und Kupfer-Kalium 404 ff.; krystallographische Messungen an vanadinsauren Salzen 543 ff, 548; Krystallmessungen von Blei-Eisencyanid 617; Krystallform von p-Cyanbenzylchlorid 661; Krystallform von p-Benzolazoresorcin-Dimethyläther 1412; Krystallform von o-Tetrachlordimethylchinoxalin 1542; Krystallform von m-Nitroanilidobenzoësäure-Aethyläther 1665; Krystallform von β-Truxillsäure-Methyläther 1843; von truxillsauren Salzen 1851; Bestimmung der Asche von Zuckerproducten 2477.

90: vanadinwolframsaure Salze, Krystallform 625; Krystallform des Phenylisocyanchlorid-Ammoniaks 708 f.; Krystallform von p-Cyanbenzylchlorid 896, von C-Acetyl-C-triäthylpyrrol 939, von o-Mononitrodiphenylamin 987, von Tetrachlordimethylchinoxalin 1049, von Oxalendiazoximdiäthenyl, von o-Homobenzenylamidoxim 1073, von Pyrrogallolderivaten 1219, der Verbindung [$C_{12}N_6H_7O_{10} . C_6H_6$] aus Chlorcyan und Kaliumpikrat 1250, des Dilactons der Acetondiëssigsäure 1359,

G.

H.

Wasser oder Alkalien: wahrscheinliche Bildung einer Aldehydo- resp. Ketonsäure, Constitution der Trichlordiketopentamethylenoxycarbonsäure, der Tetrachlordiketopentamethylenoxycarbonsäure 961; Condensationsproducte aromatischer Aldehyde mit aromatischen Aminen; Dibrom- und -jodadditionsproduct von Benzylidenanilin 976 f.; stereochemische Isomerie asymmetrischer Monoxime 1071 f.; Untersuchung von Isomeren der Oxime substituirter Benzophenone (p-Tolylphenylketon) 1088 f.; α- und β-Benzyläther der Tolylphenylketoxime, isomere Oxime von Phenylthionylketon und Phenylglyoxylsäure 1089; Untersuchung über Cyanaceton: versuchte Darstellung 1300 f.; dimolekulares Cyanaceton 1302; Untersuchung über den Eintritt der Halogene in das Molekül des Acetessigäthers 1559 f.

91: Bestimmung der räumlichen Configuration stereoisomerer Oxime 1129 ff.; Configuration asymmetrischer Oxime ohne Stereoisomerie; Oxime von Aldehyden und α-Ketonsäuren, stereoisomere Ketoxime 1132 ff.; Nomenclatur stereoisomerer Stickstoffverbindungen und stickstoffhaltiger Ringe 1139 ff.; Configuration fetter Ketoxime 1141 ff.; Einwirkung von Hydroxylamin auf β-Ketonsäuren und β-Diketone 1159 ff.

92: über die Claus'sche Auffassung der isomeren Oxime und Hydrazone, Oximido- und Isosäuren 1358; Beziehung zwischen Constitution, Configuration und chemischem Verhalten der Oxime 1366; Einwirkung von Hydroxylamin auf Chloral 1369; Stereoisomerie bei Glyoximen der Fettreihe 1370; zur Geschichte des Rhodanacetons 1558; Spaltungsproducte der Anilsäuren, Einwirkung der Halogene auf Chlor- und Bromanilsäure: Ketopenta- und -hexamethylenderivate 1607; Aldoximessigsäure (β-Oximido-, β-Nitrosopropionsäure), Constitutionsformeln 1716; Carbacetessigäther (Isodehydracetsäure-Aethyläther) 1850.

93: Chlorhydrate stereoisomerer Aldoxime 607; Substanzen mit Doppelbindung zwischen Kohlenstoff und Stickstoff 1267; Stereoisomerie bei asymmetrischen Hydrazonen 1961.

94: die Geschwindigkeit des Ueberganges von Aldoximen in Säurenitrile 287; Salze der stickoxydschwefligen Säure 444; Eintritt der Halogene in das Molekül des Acetessigesters 922; eine merkwürdige intramolekulare Umlagerung 926; Ursache der Umlagerung von Bromacetessig-α-ester in γ-Bromacetessigester 927; zur Kenntnifs des Urethans 1198; Bildung von Hydroxamsäuren aus Säureäthern 1215; Oxyurethan und einige Reactionen der Benzhydroxamsäure 1458; Stereoisomerie bei Diazoverbindungen und die Natur der Isodiazokörper 2193; Stereoisomerie der benzoldiazosulfonsauren Salze 2194; Constitution der Diazobenzolsäure 2195; Bildung von Farbstoffen aus stereoisomeren Diazoverbindungen und Configuration von Diazoäthern 2196; Stereoisomerie der Diazoverbindungen und speciell der Diazosulfonsäuren 2197; stereoisomere Diazoamidoverbindungen 2205.

95: stickoxydschweflige Säure 566; Constitutionen der normalen Diazoverbindungen und der Diazohaloide 2530; Diazoperhaloide 2533; Isomerisation der Diazosulfanilsäure und der Diazoäther 2544; Diazoniumverbindungen und normale Diazoverbindungen 2547; über Bamberger's Isomerieerscheinungen auf dem Gebiete der Azokörper 2581.

96: die chemische Natur des Diazoniums 238; Grundrifs der Stereochemie 142; Isomerie der salpetrigen Säure und des Nitramids 239; zur Isomerie der Verbindungen $N_2O_2H_2$ 410; vorläufige Notiz über untersalpetrige Säure 405; zur Synthese und Constitution des Benzols 1046.

Hantzsch, A. und Bally, **88**: Verhalten von Isobuttersäure-Aethyläther gegen Natrium 1772.

Hantzsch, A. und Davidson, W., **96**: über Diazophenole 238, 1897.

Hantzsch, A. und Freese, H., **94**: schwefelhaltige Begleiter der Anilinbasen und deren Farbenreactionen 1309.

95: Thiodiazoverbindungen 2551.

96: über Thiodiazoverbindungen 1899.

Hantzsch, A. und Gerilowski, D., **95**: Diazosulfanilsäure und ihre stereoisomeren Salzreihen 2545.

I.

J.

K.

L.

M.

lenstofftetrajodid 793 f.; Fluoräthyl und Homologe 2077 ff.

92: physikalische Constanten des Fluors 525; Einwirkung von Alkalimetallen auf Borsäure und Darstelstellung des Bors 630; Darstellung des amorphen Bors 633; Eigenschaften des reinen Bors 635; Bortrisulfid 639; Borpentasulfid 642; Darstellung von Borjodid, Borphosphüre 644; Verhalten von Kalk im elektrischen Ofen 688; desgleichen von Strontian, Baryt, Magnesia, Thonerde u. s. w. 690; Kohlenstoffjodür 1056; Opiumrauchen 2245; elektrischer Ofen 2646.

93: elektrischer Ofen 198; elektrischer Ofen mit beweglichen Elektroden 198; Darstellung von Chrom und Mangan bei hoher Temperatur 200; Verflüchtigung von Kieselsäure und Zirkon und ihre Reduction durch Kohlenstoff 201; Darstellung von Wolfram, Molybdän und Vanadium im elektrischen Ofen 201; Schmelzung und Verflüchtigung im Lichtbogen 202; Einwirkung hoher Temperatur auf Metalloxyde 205; Einwirkung des elektrischen Bogens auf Diamant, amorphes Bor und krystallisirtes Silicium 206; Darstellung von Kohlenstoff unter starkem Druck 379; Meteorit von Cañon Diablo 382; Eisen von Ovifak 383; Gegenwart von Graphit, Carbonado und mikroskopischen Diamanten in der blauen Erde vom Cap 383; Asche des Diamanten 384; neue Eigenschaften des Diamanten 385; Darstellung einer Varietät von aufblähendem Graphit 389; Darstellung und Eigenschaften des Siliciumcarbids 397; Darstellung von Uran bei hoher Temperatur 585; Bestimmung des Bors 2094.

94: neue Erscheinungen bei der Schmelzung und Verflüchtigung durch den elektrischen Ofen 259; Verdampfung des Kohlenstoffs 473; Untersuchung der verschiedenen Graphitvarietäten 475; Darstellung einer aufquellbaren Graphitvarietät 476; Graphite des Eisens 476; Darstellung von Kohlenstoff unter starkem Druck 478; Darstellung und Eigenschaften des krystallisirten Siliciumcarbids 498; Einwirkung des elektrischen Bogens auf Diamant, amorphes Bor und krystallisirtes Silicium 498; über die Verflüchtigung von Kieselsäure und Zirkonerde und über die Reduction dieser Verbindungen durch Kohlenstoff 509; Bestimmung der Dichte der geschmolzenen Magnesia 566; Darstellung eines krystallisirten Calciumcarbids im elektrischen Ofen 575; Untersuchung des krystallisirten Baryum- und Strontiumcarbids 587; Darstellung und Eigenschaften von Borcarbid 591; Reduction der Thonerde durch Kohle 592; Unreinheiten des technischen Aluminiums 593; Darstellung eines krystallisirten Aluminiumcarbids 600; Ersatz des Kohlenstoffs durch Bor und Silicium im geschmolzenen Gufseisen 616; neue Untersuchungen über Chrom 640; schnelle Darstellung von Chrom und Mangan bei hoher Temperatur 640; Darstellung von Wolfram, Molybdän und Vanadin im elektrischen Ofen 648; Darstellung von Uran bei hoher Temperatur 659; Bestimmung des Bors 2505.

95: neue Modelle von elektrischen Oefen mit beweglichen Elektroden 361; Einwirkung von Fluor auf Argon 591, 592; Verdampfung der Kohle 643; Untersuchung eines Graphits aus einem Pegmatit 645; Untersuchung der Graphitvarietäten 646; eine Probe von „carbon noir“ aus Brasilien 648; Studien über Meteorite 648; Reduction des Siliciumdioxyds durch Kohle 679; Einwirkung von Silicium auf Eisen, Chrom und Silber 681; Darstellung und Eigenschaften des Titans 685; Darstellung von geschmolzenem Titan 686; Wirkung hoher Temperatur auf Metalloxyde 694; Studium des amorphen Bors 771; Reduction von Aluminiumoxyd durch Kohle 774; die Gegenwart von Natrium in Aluminium, das durch Elektrolyse bereitet ist 780; Darstellung von Legirungen 781; Graphite des Eisens 808; Ersatz des Kohlenstoffs durch Bor und Silicium im geschmolzenen Gufseisen 809; Darstellung und Eigenschaften des Eisenborides 820; Darstellung und Eigenschaften des reinen geschmolzenen Molybdäns 854; die Giftigkeit des Acetylens 964; Bestimmung des Bors 2820; Analyse des Aluminiums und seiner Legirungen 2823.

96: über die Bildung der ga-

N.

O.

P.

Q.

R.

S.

T.

U.

V.

W.

Z.